

ارزیابی فرایند اکسیداسیون پیشرفت، فنتون هتروژن با نانو کامپوزیت مگنتیت سنتز شده $\text{Fe}_3\text{O}_4/\text{MWCNTs}$ برای حذف آنتی بیوتیک سپروفلوکساسین از پساب‌های صنعتی

محمد تقی صمدی^۱، رضا شکوهی^۲، رویا هراتی^۳

۱- استاد گروه مهندسی بهداشت محیط، دانشگاه علوم پزشکی همدان، همدان، ایران
 ۲- دانشیار گروه مهندسی بهداشت محیط، دانشگاه علوم پزشکی همدان، همدان، ایران
 ۳- دانشجوی کارشناسی ارشد، گروه مهندسی بهداشت محیط، دانشگاه علوم پزشکی همدان، همدان، ایران
 (نویسنده مسئول) (۰۸۱) ۳۴۶۴۴۸۱۲ ghaed_mir@yahoo.com

(دریافت ۹۳/۱۱/۱۱) پذیرش ۹۴/۴/۶

چکیده

سپروفلوکساسین آنتی بیوتیکی پر مصرف در درمان عفونت‌ها است که تقریباً بخش عمده آن به صورت غیر متابولیزه دفع می‌شود و در نهایت از طریق تخلیه فاضلاب‌ها و پساب‌ها به منابع آبی وارد می‌شود. نanolوله‌های کربنی در سطح وسیعی برای حذف آلتیند ها استفاده شده است اما مشکلات ناشی از جداسازی آن مطرح است. هدف از این پژوهش، سنتز نانو کامپوزیت مگنتیت $\text{Fe}_3\text{O}_4/\text{MWCNTs}$ و ارزیابی عملکرد آن در حذف سپروفلوکساسین توسط فرایند فنتون هتروژن بود. نانو کامپوزیت مگنتیت سنتز شد و در شرایط آزمایشگاهی، با تأثیرات انواع پارامترهای مؤثر از جمله pH بین ۴ تا ۱۰، مقدار جاذب، یک تا ۳ گرم در لیتر، غلظت اولیه آنتی بیوتیک ۳۰ تا ۲۰۰ گرم در لیتر، زمان تماس ۱۵ تا ۳۰۰ دقیقه و غلظت پراکسید هیدروژن ۵ تا ۲۵ میلی‌مول در لیتر انجام شد. برای تعیین ویژگی‌های نانو کامپوزیت مگنتیت سنتز شده از میکروسکوپ الکترونی عبوری، دستگاه پراش نگار اشعه ایکس و طیف‌سنج مادون قرمز استفاده شد. نتایج نشان داد که کارایی حذف سپروفلوکساسین با غلظت ۳۰ گرم در لیتر، در فرایند فنتون هتروژن ۹۵ درصد بعد از زمان حدود ۱۸۰ دقیقه با نسبت مولی یک میلی لیتر پراکسید هیدروژن در ۲ گرم آهن بود. بر مبنای نتایج می‌توان اظهار نمود که نانو کامپوزیت مگنتیت قابلیت خوبی برای حذف آنتی بیوتیک سپروفلوکساسین از محیط‌های آبی دارد.

واژه‌های کلیدی: نانو کامپوزیت مگنتیت، آنتی بیوتیک سپروفلوکساسین، فنتون هتروژن

۱- مقدمه

فضای خانگی، پساب صنایع دارویی، فاضلاب بیمارستان‌ها و درمانگاه‌های دامپزشکی حیوانات اهلی، محصولات کشاورزی و حوض‌های پرورش ماهی و همچنین تخلیه‌های ناشی از فعالیت‌های آزمایشگاهی و پژوهشی به‌طور قابل توجهی وارد منابع آب و محیط زیست می‌شوند. از جمله دلایل اصلی تصفیه آنتی بیوتیک‌ها می‌توان به قطبیت بالا و ماهیت مقاوم آن‌ها اشاره کرد که تهدیدی مهم برای سلامت انسان به حساب می‌آیند [۵ و ۶]. سپروفلوکساسین^۱ آنتی بیوتیکی از گروه فلوروکینولون‌ها^۲ است که به‌طور گسترده در درمان عفونت‌های باکتریایی استفاده می‌شود. حضور سپروفلوکساسین حتی در غلظت‌های کم خطرناک است و منجر به گسترش مقاومت آنتی بیوتیکی، تأثیرگذاری این مواد بر

آن‌تی بیوتیک‌ها به‌طور گسترده در پزشکی، دامپزشکی و پرورش آبزیان، برای جلوگیری و درمان عفونت‌های میکروبی، مورد استفاده قرار می‌گیرند. حضور ترکیبات و باقیمانده‌های دارویی در محیط به ویژه منابع آبی به‌دلیل پایداری و عدم تجزیه پذیری آن‌ها به عنوان یک مسئله مهم در محیط زیست مطرح است [۱]. ترکیبات دارویی به‌طور مداوم با افزایش مقدار مصرف کنندگان، با سیر صعودی در حجم وسیع تولید و مصرف می‌شوند. بعضی از داروهای پر مصرف به خاطر نیمه عمر طولانی، در محیط زیست تجمع می‌یابند [۲ و ۳]. داروهایی که به مصرف انسان و حیوانات می‌رسند، اگر چه ممکن است غلظت بالایی نداشته باشند، اما چون در مناطق بسیار وسیع و غیرقابل کنترلی پراکنده می‌شوند و نیمه عمر بالایی دارند، تجمع می‌یابند و در نتیجه خطرناک‌اند [۴]. آنتی بیوتیک‌ها به همراه

¹ Ciprofloxacin, $\text{C}_{17}\text{H}_{18}\text{FN}_3\text{O}_3$ (CIP)

² Fluoroquinolone

شكل کریستالی و نظم شبکه‌ای منحصر به فرد و واکنش‌پذیری بسیار زیاد و پایداری مکانیکی و حرارتی خوبی هستند^[۱۸]. مشکل عمدۀ استفاده از نانولوله‌های کربن و اندازه جاذب‌هایی با سایز نانو، جداسازی این مواد پس از فرایند جذب و مشکلات احیای مجدد آن و آلودگی ثانویه ناشی از آن‌ها به دلیل اندازه کوچک‌شان است. بنابراین ایجاد شرایطی برای سهولت جداسازی این جاذب‌ها از محیط آبی، امری ضروری محسوب می‌شود. از راهکارهای مورد استفاده برای جداسازی نانولوله‌های کربن از محلول‌های آبی ایجاد و یا القای خاصیت مغناطیسی در آن‌ها و جداسازی به‌وسیله آهنربا است [۱۸ و ۱۹ و ۲۰]. روش جداسازی مغناطیسی به‌دلیل سادگی، سرعت بالا و ارزان بودن در سال‌های اخیر به شکل گسترده‌ای مورد استفاده قرار گرفته‌اند؛ به‌طوری که کاکاوندی و همکاران، زائو و همکاران از کربن فعال مگنتیک، و مورالس و همکاران نیز از نانولوله‌های کربن مغناطیسی برای حذف آلاینده‌ها از محیط‌های آبی به روش جداسازی مغناطیسی استفاده کرده‌اند [۲۱، ۲۰ و ۲۲]. پژوهش‌های متعددی در زمینه حذف آنتی‌بیوتیک سپرروفلوکساسین توسط فرایند ازن‌زنی/پرسولفات، جذب سطحی با نتایج مطلوب وجود دارد ولی تاکنون هیچ پژوهشی بر روی حذف سپرروفلوکساسین به‌روش اکسیداسیون پیش‌رفته فنتون هتروژن، گزارش نشده است. با توجه به پژوهش‌های انجام شده در ارتباط با اثرات مضر آنتی‌بیوتیک‌ها در محیط‌زیست و تأثیر آن بر سلامتی انسان و نیز با توجه به مزایای روش فنتون هتروژن به کمک نانوکامپوزیت مگنتیت Fe₃O₄/MWCNTs و وجود تجربه‌های موفق در این زمینه، در این پژوهش امکان توسعه این روش در کاوش آنتی‌بیوتیک سپرروفلوکساسین موردن توجه قرار گرفت. هدف پژوهش ارزیابی فرایند اکسیداسیون پیش‌رفته فنتون هتروژن با نانوکامپوزیت مگنتیت سنتز شده Fe₃O₄/MWCNTs برای حذف آنتی‌بیوتیک سپرروفلوکساسین از محیط‌های آبی و تأثیر عوامل مختلف مانند pH، زمان تماس، غلظت اولیه آنتی‌بیوتیک، غلظت پراکسید هیدروژن و مقدار نانوکامپوزیت مگنتیت بود.

۲- مواد و روش‌ها

آنتی‌بیوتیک هیدروکلراید سپرروفلوکساسین با درجه خلوص ۹۹/۵ درصد از شرکت سیگما-آلدریچ^۱ آلمان، استونیتریل و متانول (HPLC grade)^۲ و سایر مواد شیمیایی مورد استفاده در این آزمایش با درجه خلوص آزمایشگاهی، از شرکت مرک^۳ آلمان

^۱ Sigma-Aldrich

^۲ High-Performance Liquid Chromatography Grade

^۳ Merck

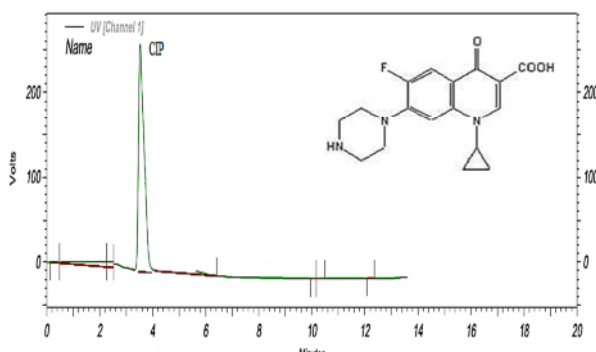
روی پاتوژن‌های غیر هدف، تغییر ساختار جلبک‌های آبی، مداخله بر فتوسترنز گیاهان و ایجاد ناهنجاری‌های ظاهری در گیاهان می‌شود^[۷]. بیش از ۶۵ درصد از آنتی‌بیوتیک‌های مصرفی در جهان مربوط به آنتی‌بیوتیک‌های گروه β-لاکتام است. بررسی‌ها نشان می‌دهد غلظت آنتی‌بیوتیک‌های این گروه در آب‌های سطحی ۴۸ نانو‌گرم در لیتر و غلظت سپرروفلوکساسین در کارخانه‌های داروسازی ۳۰ میلی‌گرم در لیتر شناسایی شده است، همچنین این آنتی‌بیوتیک می‌تواند در لجن ۲/۴ میلی‌گرم در کیلو‌گرم جذب شود و در صورت استفاده به عنوان کود در خاک تجمع یابد و در گیاهانی مانند کاهو، خیار و جو وارد شود [۷ و ۸]. با این حال احتمال وجود غلظت‌های بالایی از این آنتی‌بیوتیک‌ها در فاضلاب صنایع داروسازی وجود دارد، به‌طوری که در مطالعات اخیر، غلظت‌های بین ۱۰ تا ۵۰۰ میلی‌گرم در لیتر در آب و فاضلاب، توسط موسوی و همکاران با کربن فعال حاصل از پوست انار اصلاح شده با NH₄OH و همچنین ژا و همکاران با بنتونیت اصلاح شده با هگزا دسیل تری متیل‌آمونیوم با استفاده از مکانیسم جذب سطحی حذف شده است [۹ و ۱۰].

از مهم‌ترین روش‌های متدالویی که برای حذف و جداسازی ترکیبات دارویی از آب و فاضلاب استفاده می‌شوند، می‌توان به روش‌های ازن‌زنی، نانوفیلتراسیون، تابش الکترون، تعویض یون، انعقاد شیمیایی و اکسیداسیون فتوکاتالیستی اشاره کرد که این روش‌ها در مقیاس وسیع از نظر اقتصادی بسیار پرهزینه‌اند و هزینه‌های عملیاتی و بهره‌برداری بالایی دارند [۱۱-۱۶]. فرایندهای اکسیداسیون پیش‌رفته مانند ازن‌زنی، اولتراسونیک، اکسیداسیون فتوفتون، به‌منظور کاهش آلودگی ناشی از حضور باقیمانده دارویی در آب به کار گرفته شده است و در سال‌های اخیر به عنوان مرسوم‌ترین روش‌های تصفیه فاضلاب‌های حاوی مواد غیرقابل تجزیه بیولوژیکی بوده‌اند. در این میان فرایند فنتون به‌دلیل مزیت‌هایی از جمله کاربرد ساده، کوتاه بودن زمان واکنش، قدرت بالای اکسیداسیون، کاهش مصرف انرژی به‌دلیل خاصیت کاتالیزوری و سادگی کنترل، قابلیت معدنی‌سازی بخش اصلی بار آلودگی و ایجاد پساب با سمیت کمتر، سهولت تصفیه بیولوژیکی نهایی و بنابراین تنظیم آسان شرایط کاری موجب شده که این فرایند به راحتی در تصفیه ریز آلاینده‌ها به کار رود. دیگر این که فرایند مذکور ترکیبی از اکسیداسیون و فرایند انعقاد است که منجر به تولید لجن کمتری نسبت به فرایندهای انعقاد و لخته‌سازی می‌شود [۱۷].

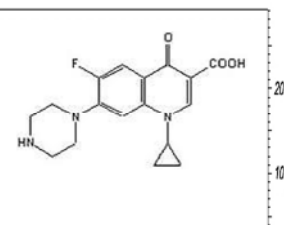
نانولوله‌های کربن ساختارهای استوانه‌ای شکل و تو خالی از ورقه‌های گرافیتی هستند که دارای سطح ویژه بالا، اندازه کوچک،

۱-۲- نحوه تعیین غلظت آنتی بیوتیک CIP

غلظت آنتی بیوتیک موجود در نمونه های مورد آزمایش با استفاده از دستگاه HPLC محصول کشور آلمان مجهز به آشکارساز UV مدل K2600 محصول کشور آلمان^۶ در طول موج ۲۷۰ نانومتر، فاز متحرک ۵۰ درصد استونیتریل، ۵۰ درصد اسید فرمیک و ستون ۱/۷ ± ۰/۱ نشان داده شده است، زمان ماند سیپروفلوکساسین در شکل ۱ دقیقه تعیین شد.



شکل ۱- کروماتوگراف و ساختار مولکولی آنتی بیوتیک سیپروفلوکساسین



خریداری شد. نanolole های کربنی چند دیواره^۱ مورد استفاده در این پژوهش دارای درصد خلوص بیش از ۹۵ درصد، قطر خارجی ۲۰ تا ۳۰ نانومتر، طول ۳۰ میکرومتر، مساحت سطحی ویژه ۱۱۰ مترمربع بر گرم و چگالی واقعی ۲/۱ گرم بر سانتی متر مکعب از شرکت نوتربونو تهران، خریداری شد. مشخصات کلی آنتی بیوتیک CIP در جدول ۱ نشان داده شده است.

جدول ۱- خصوصیات فیزیکی و شیمیایی و ساختار مولکولی آنتی بیوتیک سیپروفلوکساسین

فرمول شیمیایی	C ₁₇ H ₁₈ FN ₃ O ₃	ساختار مولکولی
جرم مولی	۳۳۱/۳۴۶	
حالت	پودری شیری رنگ	
نام دیگر	(هیدروکلراید سیپروفلوکساسین)	
C.I. number	۸۵۷۲۱-۳۳-۱	

برای تهیه نمونه سنتتیک، ابتدا محلول استوک سیپروفلوکساسین با غلظت ۵۰۰ میلی گرم در لیتر از حل کردن ۰/۵ گرم پودر سیپروفلوکساسین در ۱۰۰۰ میلی لیتر آب قطره تهیه شد و غلظت های ۳۰ تا ۲۰۰ میلی گرم در لیتر از محلول استوک تهیه شد. برای جلوگیری از تغییرات غلظت، محلول استوک در یخچال نگهداری شد. pH محلول توسط pH متر دیجیتالی محصول کمپانی هچ^۲ با استفاده از سود و اسید سولفوریک ۱/۰ نرمال تنظیم شد. برای انجام آزمایش از ظروف شیشه ای با حجم مشخص استفاده شد. نمونه ها با سرعت ۱۵۰ دور در دقیقه بر روی دستگاه لرزاننده (Mdl ۳۰۱ Sigma) قرار داده شد.

برای تعیین خصوصیات مورفولوژی، سطح نanolole کربنی چند دیواره و نانو کامپوزیت مگنتیت سنتز شده از میکروسکوپ الکترونی انتقالی^۳ (TEM)، و برای تعیین الگوی پراکنش اشعه X مربوط به نanolole کربنی چند دیواره و نانو کامپوزیت مگنتیت در محدوده زاویه ۱۵-۶۵° = ۲θ از دستگاه پراش اشعه ایکس^۴، و از طیف سنج مادون قرمز^۵ برای تعیین گروه های عاملی موجود بر سطح کاتالیزور استفاده شد.

¹ Multiwall Carbon Nanotubes (MWCNTs)

² HACH

³ Transmission Electron Microscope (TEM)

⁴ X-ray Diffraction (XRD)

⁵ Fourier Transform Infrared Spectroscopy (FTIR)

⁶ K2600, Knauer, Germany

⁷ Ultrasound Wave Cleaner

که در آن C_e و C_0 به ترتیب غلظت اولیه و نهایی آنتی بیوتیک بر حسب میلی گرم در لیتر است.

۳- نتایج و بحث

۱- تعیین مشخصات نانو کامپوزیت مگنتیت سنتز شده

Fe₃O₄/MWCNTs برای بررسی خواص سطحی و ساختاری نانو کامپوزیت مگنتیت سنتز شده Fe₃O₄/MWCNTs آزمایش های متعددی انجام شد. تصاویر میکرو سکوپ الکترونی انتقالی، با استفاده از دستگاه مدل LEO912-AB، ساخت شرکت لنو کشور چین گرفته شد. بر اساس شکل ۲، ذرات آهن ساختار مکعبی شکل داشته و دارای متوسط قطر ۳۰ تا ۸۰ نانومتر است و توزیع اندازه ذرات از توزیع نرمال تعیین می کند.

آزمایش XRD در آزمایشگاه فیزیک دانشکده فیزیک علوم پایه دانشگاه علوم پزشکی همدان انجام شد. در آنالیز XRD، نانو کامپوزیت مگنتیت اصلاح شده به دلیل آرایش تناوبی فاز کریستالی و درصد بالای آهن معادل سولفات آهن ۷ آبه نسبت به نانولوله کربنی چند دیواره، عمیق تر و خاصیت مغناطیسی بالای برای استفاده به عنوان کاتالیزور آنتی بیوتیک سیپروفلوکسازین دارد (شکل ۳). در آنالیز XRD حداقل پیک مربوطه برای نانو کامپوزیت مگنتیت سنتز شده در زاویه ۲۷ درجه باشد ۰۹۶۵ و ۰۲۳. مریب ط به بلورهای مکعبی شکل سولفات آهن ۷ آبه بوده که این آنالیز در واقع وجود آهن را در ساختار نانو کامپوزیت مگنتیت به عنوان کاتالیزور به صورت کریستالهای مکعبی شکل ذرات آهن با توجه به استاندارد (JCPDS NO-0866-088-01) تأیید می کند [۲۳].

با استفاده از دستگاه FTIR مدل VERTEX-70 شرکت بروکر^۲ آلمان، گروههای موجود بر روی کاتالیزور مورد نظر شناسایی شد. آزمایش FTIR در آزمایشگاه شیمی دانشکده شیمی علوم پایه دانشگاه علوم پزشکی همدان انجام شد. شکل ۴ طیف FTIR نانولوله های کربنی چند دیواره و نانو کامپوزیت مگنتیت سنتز شده را نشان می دهد. دامنه این تغییرات در فاصله 4000 cm^{-1} تا 400 cm^{-1} تعیین شده است. جایگاه های مشخص شده در طیف نانولوله کربنی شامل 507 cm^{-1} ، 3434 cm^{-1} است که به ترتیب به ارتعاشات کششی O-H، COO- (کربوکسیلات) در گروههای هیدروکسیل مربوط می شود. که می توان آن را به حضور کربن در ساختار نانولوله های کربنی نسبت داد [۲۳].

۹۰/ گرم NaNO₃ بود در دمای بیش از ۹۵ درجه سلسیوس حرارت دید و بر روی دستگاه لرزاننده، قطره قطره ۲ میلی لیتر در دقیقه به محلول گرم نانولوله های کربنی چند دیواره فلزی اصلاح شده، اضافه شد. جریان N₂ در طول واکنش پایدار بود. محلول نهایی به مدت ۲ ساعت در دمای ۹۵ درجه سلسیوس قرار گرفت و پس از آن رسوب تشکیل شده در ارلن توسط یک میدان مغناطیسی از محلول جدا شد و پس از شستشوی مکرر با آب مقطر، تحت امواج فراصوت^۱ به مدت ۵ دقیقه قرار گرفت و در تهایت نانو کامپوزیت مگنتیت تشکیل شده تحت شرایط خلاء در دمای ۱۰۰ درجه سلسیوس به مدت ۲۴ ساعت خشک شد. تهیه رسوبات نانو کامپوزیت مطابق با پژوهش هیو ایکس و همکاران انجام شد [۲۳].

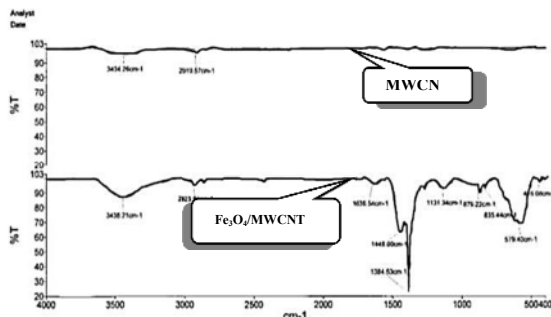
۳- روش انجام آزمایش ها

تمامی آزمایش ها در این پژوهش به صورت تجربی و در مقیاس آزمایشگاهی، به صورت جریان ناپیوسته انجام گرفت. پارامترهای مورد بررسی در این پژوهش شامل pH برابر ۱، ۱/۵، ۲، ۲/۳۵، ۳۰۰، ۱۵۰، ۱۲۰، ۱۸۰، ۶۰، ۲۴۰ میلی گرم در لیتر، زمان تماش برابر ۱۵، ۳۰، ۱۰۵، ۱۰۰، ۸۰، ۵۰، ۳۰، ۱۵۰، ۱۲۰، ۱۰۰ میلی گرم در لیتر آنتی بیوتیک، کلیه آزمایش ها شامل تعیین مقدار pH، نسبت استفاده شد. کلیه آزمایش ها شامل غلظت پراکسید هیدروژن و مولی [Fe/H₂O₂]^۲، زمان واکنش، غلظت پراکسید هیدروژن و نانو کامپوزیت مگنتیت Fe₃O₄/MWCNTs در محیط های آبی مورد بررسی قرار گرفت. برای انجام آزمایش ها، نمونه ها با غلظت ثابت ۳۰ میلی گرم در لیتر به منظور تعیین مقدار بهینه نانو کامپوزیت مگنتیت با مقدار ۱ تا ۳ گرم در لیتر به نمونه ها اضافه شد. پس از تعیین مقدار بهینه نانو کامپوزیت مگنتیت آزمایش ها با ثابت نگه داشتن سه متغیر و تغییر دادن یک متغیر انجام شد. در تمامی مراحل آزمایش ها، نمونه ها پس از مدت زمان معین در مجاورت آهربایی خارجی قرار داده شد و جاذب به روش مغناطیسی از محلول جدا شد و در نهایت غلظت های باقیمانده سیپروفلوکسازین مورد سنجش قرار گرفت. برای اطمینان از تکرار پذیری نتایج، هر آزمایش ۲ بار تکرار و میانگین اعداد گزارش شد. برای بررسی کارایی حذف آنتی بیوتیک سیپروفلوکسازین از معادله زیر استفاده شد:

$$\text{Antibiotic Removal Efficiency \%} = \frac{C_0 - C_e}{C_0} \times 100$$

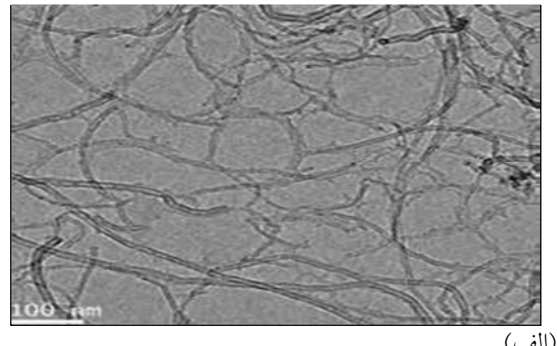
¹ Ultrasonication

² Brucker

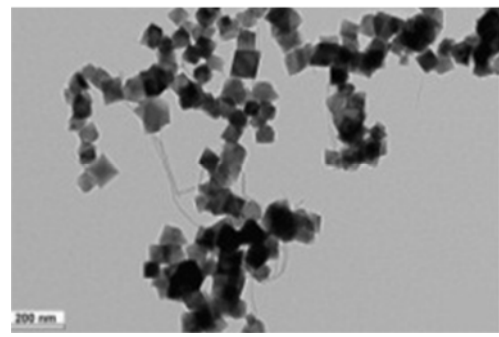


شکل ۴- طیف FTIR نanolوله کربنه چند دیواره و نانوکامپوزیت
مگنتیت $\text{Fe}_3\text{O}_4/\text{MWCNT}$

همچنین جایگاه‌های مشخص شده در طیف نانوکامپوزیت مگنتیت $\text{Fe}_3\text{O}_4/\text{MWCNTs}$ شامل گروه‌های عاملی به مقدار cm^{-1} ۱۳۸۴/۵۳، ۳۴۳۸/۲۱، ۵۷۹/۴۰ است. در طیف نانوکامپوزیت مگنتیت پیک موجود در جایگاه $\text{N}=\text{O}$ و $\text{S}=\text{O}$ نسبت به طیف نanolوله کربنه چند دیواره عمیق‌تر شده است که می‌توان این تغییرات را به دلیل استفاده از ترکیبات نیتروژن و ترکیبات سولفات که در سنتر نانوکامپوزیت مگنتیت استفاده شده، نسبت داد و همچنین در طیف ۵۷۹/۴۰ Fe_3O_4 در ساختار نانوکامپوزیت تأیید می‌شود [۲۳].

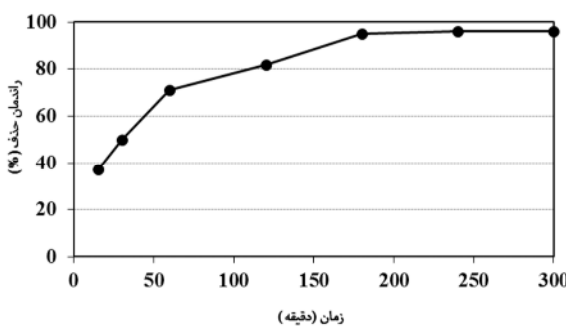


(الف)

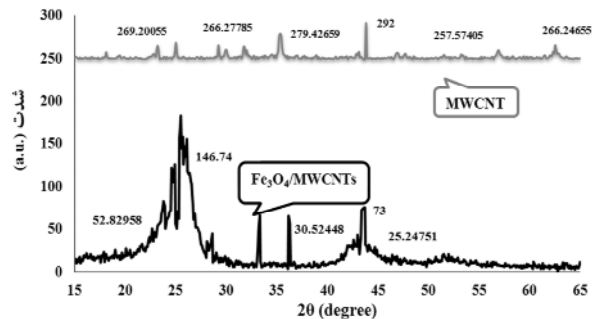


(ب)

شکل ۲- از (الف) نanolوله کربنه چند دیواره و (ب) نانوکامپوزیت مگنتیت $\text{Fe}_3\text{O}_4/\text{MWCNT}$

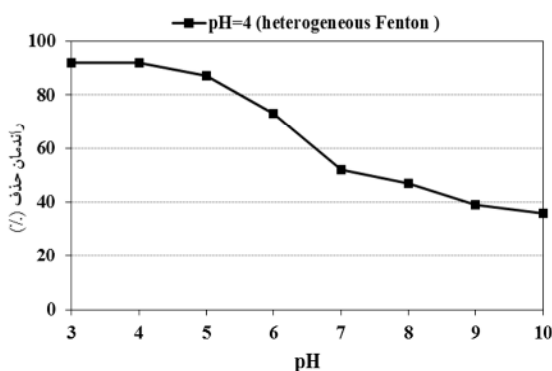


شکل ۵- تأثیر زمان واکنش بر کارایی فرایند (غلظت آنتی‌بیوتیک ۳۰ میلی‌گرم در لیتر، زمان تماس ۱۸۰ دقیقه، مقدار جاذب ۲ گرم در لیتر)



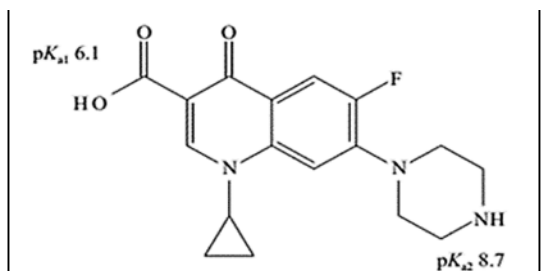
شکل ۳- از نanolوله کربنه چند دیواره و نانوکامپوزیت مگنتیت $\text{Fe}_3\text{O}_4/\text{MWCNT}$

فرایند در حذف CIP برابر ۹۲ درصد به دست آمد. با افزایش pH، در فرایند فنتون هتروژن کارایی حذف به طور چشمگیری کاهش پیدا کرد، بدطوري که در pH های برابر ۵.۷، ۶.۵ و ۱۰ به ترتیب ۸۱ درصد، ۵۲ درصد، ۳۷، ۲۶ درصد از سپروفلوکسین حذف شد. با افزایش زمان ماند در تمامی نمونه ها، کارایی حذف سپروفلوکسین افزایش یافت. بنابراین برای ادامه آزمایش ها در فرایند فنتون هتروژن pH برابر ۴ به عنوان pH بهینه استفاده شد.

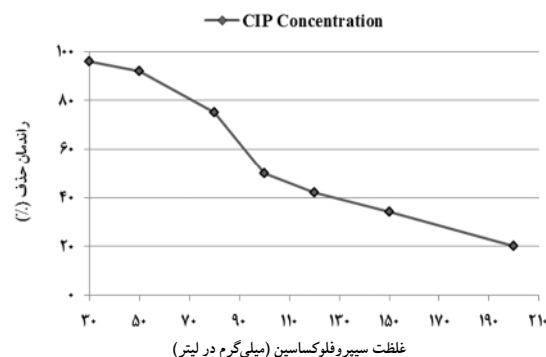


شکل ۷- تأثیر pH بر کارایی فرایند (غلظت آنتی بیوتیک ۳۰ میلی گرم در لیتر، زمان تماس ۱۸۰ دقیقه، مقدار جاذب ۲ گرم در لیتر)

مولکول یونیزان سپروفلوکسین دارای دو محل اتصال پروتون شامل گروه کربوکسیلیک اسید ($\text{pKa}_1=6/7$) و آمین ($\text{pKa}_2=8/9$) است، بنابراین شکل غالب آن در pH کمتر از $6/7$ است، به شکل کاتیونی (CIP^+) به دلیل پروتونه شدن گروه آمین. در pH بزرگتر از $8/7$ به شکل آنیونی (CIP^-) به خاطر از دست دادن پروتون از گروه کربوکسیلیک و در محدوده pH برابر $6/1$ تا $8/7$ بدون یون و خنثی ($\text{CIP}^\pm/\text{CIP}^0$) است. شکل های ۸ و ۹ ساختار مولکولی، ثابت های تجزیه و اشکال یونی مختلف سپروفلوکسین را نشان می دهد [۸].



شکل ۸- ساختار شیمیایی و مقادیر pKa سپروفلوکسین [۸]



شکل ۶- تأثیر غلظت آنتی بیوتیک بر کارایی فرایند (زمان ماند ۱۸۰ دقیقه، مقدار جاذب ۲ گرم در لیتر، H_2O_2 ۲۰ میلی مول در لیتر)

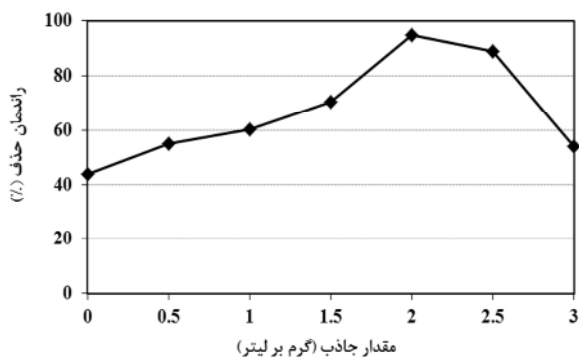
کاهش میزان کارایی حذف در اثر افزایش غلظت سپروفلوکسین ممکن است به این دلیل باشد که در تمامی غلظت ها، مقدار نانوکامپوزیت مگنتیت، زمان تماس و pH یکسان بوده و در نتیجه مقدار رادیکال های تولید شده در همه غلظت ها نیز یکسان است، بنابراین حذف سپروفلوکسین در نمونه هایی با غلظت بیشتر، کمتر است. در نتیجه فرایند تجزیه سپروفلوکسین در غلظت های بالا به صورت کامل صورت نمی گیرد و باعث کاهش کارایی فرایند می شود. دلیل دوم برای توجیه این پدیده این است که با افزایش غلظت سپروفلوکسین مقدار H_2O_2 به وسیله سپروفلوکسین جذب می شود و به سطح کلیه ذرات نانوکامپوزیت مگنتیت سنتز شده نمی رسد و در نتیجه عدم تحریک همه ذرات نانوکامپوزیت مگنتیت، مقدار تجزیه تا مقدار قابل توجهی کاهش می یابد. ژا و همکاران در سال ۲۰۱۳ به بررسی حذف آموکسیسیلین توسط بنتونیت اصلاح شده با هگزا دسیل تری متیل آمونیوم بروماید پرداختند. غلظت های مورد بررسی در این پژوهش ۱۰ تا ۵۰۰ میلی گرم در لیتر بود. نتایج حاکی از آن بود که با افزایش غلظت آنتی بیوتیک، در ابتدا افزایش آرامی در کارایی فرایند حذف مشاهده شد، اما بعد از تعیین مقدار غلظت بهینه، روند تغییرات محسوس نبود [۹].

۳-۳- تأثیر pH بر کارایی حذف آنتی بیوتیک در فرایند فنتون هتروژن^۱

نتایج حاصل از تأثیر pH در میزان حذف سپروفلوکسین در شکل ۷ نشان داده شده است. همان طور که مشخص است، بیشترین کارایی فرایند فنتون هتروژن برای حذف سپروفلوکسین در pH برابر ۴ است. در این pH بعد از ۱۸۰ دقیقه از زمان واکنش، کارایی

¹ Heterogeneous Fenton

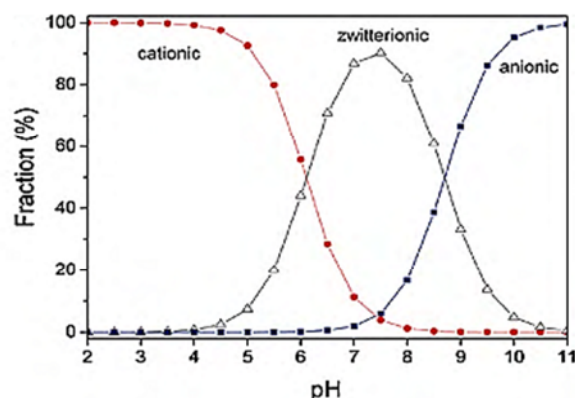
۴- تأثیر دز نانوکامپوزیت مگنتیت $\text{Fe}_3\text{O}_4/\text{MWCNT}$ تأثیر مقدار مختلف جاذب سنتر شده در این مرحله از آزمایش‌ها، بر میزان حذف آنتی‌بیوتیک سیپروفلوکساسین، با غلظت‌های ۰/۳۵، ۰/۱۵، ۱/۱ لیتر مورد مطالعه قرار گرفت. همان‌طور که در شکل ۱۰ مشاهده می‌شود، با افزایش مقدار جاذب از ۱ به ۲ گرم در لیتر، بازدهی حذف سیپروفلوکساسین از ۶۰/۴۲ به ۹۲ درصد در فرایند فنتون هتروژن افزایش یافته است. در واقع افزایش کارایی همراه با افزایش مقدار نانوکامپوزیت مگنتیت تا مقدار ۲ گرم در لیتر با یک شیب تند همراه بود و بعد از این نقطه، افزایش کارایی با سرعت کمتری اتفاق افتاد به طوری که با افزایش مقدار جاذب، افزایش قابل توجهی در راندمان حذف آنتی‌بیوتیک سیپروفلوکساسین صورت نگرفت.



شکل ۱۰- تأثیر دز جاذب بر کارایی فرایند (غلظت آنتی‌بیوتیک ۳۰ میلی‌گرم در لیتر، زمان تماس ۱۸۰ دقیقه، pH برابر ۴)

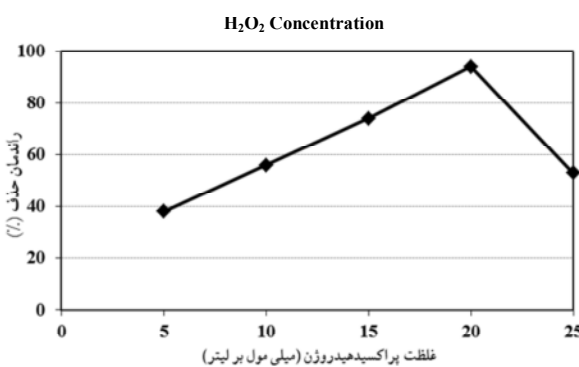
افزایش کارایی فرایند همزمان با افزایش دز کاتالیزور را می‌توان به تولید سریع رادیکال‌های هیدروکسیل نسبت داد که به سرعت با آنتی‌بیوتیک سیپروفلوکساسین وارد و اکنش شده و باعث حذف آنتی‌بیوتیک می‌شوند. بنابراین مقدار ۲ گرم در لیتر نانوکامپوزیت مگنتیت به عنوان دز بهینه انتخاب شد. در حالت کلی فرایند حذف در فرایند فنتون هتروژن در دو مرحله انجام می‌شود. مرحله اول فرایند حذف، بسیار سریع بوده و مرحله دوم فرایند کند است. حضور نانوکامپوزیت مگنتیت در کنار پراکسید هیدروژن باعث کاهش سریع و ناگهانی سیپروفلوکساسین می‌شود (مرحله اول). این پدیده سبب می‌شود تا مقدار زیادی رادیکال هیدروکسیل تولید شود (رابطه ۱)، اما با افزایش غلظت نانوکامپوزیت از مقدار بهینه، کارایی به دلیل ایجاد واکنش‌های رقابتی و نامطلوب نانوکامپوزیت با رادیکال‌های هیدروکسیل در محیط کاهش می‌یابد (مرحله دوم). به نظر می‌رسد حضور بیش از حد نانوکامپوزیت در

از طرفی در مقدار pH کمتر از ۵، شکل غالب سیپروفلوکساسین کاتیونی است. بنابراین نیروی دافعه الکترواستاتیک مثبت-مثبت باعث کاهش میزان جذب آنتی‌بیوتیک سیپروفلوکساسین خواهد شد [۲۴]. در محدوده pH برابر ۵ تا ۶ جذب الکترواستاتیک القایی ناشی از بارهای مخالف مولکول‌های سیپروفلوکساسین و سطح نانولوله‌ها، میزان جذب را افزایش می‌دهد. در محدوده pH برابر ۶/۱ تا ۸/۷ واکنش الکترواستاتیک بین بار مثبت گروه آمین در سیپروفلوکساسین زوئیتریونی و بار منفی $\text{C}=\text{O}$ در سطح نانولوله و همچنین واکنش آبگردیزی به دلیل آبگردیزی CIP^0 ایجاد می‌شود. اگرچه احتمالاً درجه‌ای از دفع بین بار منفی کربوکسیلات در سیپروفلوکساسین زوئیتریونی و بار منفی سطح منجر به کاهش کمی در میزان جذب می‌شود. در pH بیش از ۸/۷ سطح نانولوله و مولکول سیپروفلوکساسین بار منفی دارند و این باعث کاهش بیشتر میزان جذب خواهد شد. پیوند هیدروژنی و واکنش‌های الکترواستاتیک بین مولکول‌های سیپروفلوکساسین و گروه‌های عاملی کربن-اکسیژن موجود در سطح نانولوله‌های کربنی باعث جذب سیپروفلوکساسین بر روی جاذب می‌شود [۲۵]. pH برابر ۴ به این دلیل انتخاب می‌شود که پایین بودن pH در فرایند فنتون و در تمامی واکنش‌های اکسیداسیون پیشرفتی یک امر ضروری است. رادیکال‌های هیدروکسیل که عامل اصلی در فرایندهای اکسیداسیون پیشرفتی هستند، در محیط اسیدی بیشتر تولید می‌شوند. با قلیایی شدن محیط Fe^{2+} آزاد شده به Fe^{3+} تبدیل و $\text{Fe}(\text{OH})_3$ رسوب خواهد کرد و در واکنش فنتون با پراکسید هیدروژن شرکت نخواهد کرد [۱۱]. زهنگ و همکاران دریافتند کارایی حذف تتراسایکلین توسط نانولوله‌های کربنی چند دیواره در محدوده pH برابر ۴ تا ۶ کارایی بالا و تقریباً ثابتی دارد و در مقادیر کوچک‌تر از ۴ و بزرگ‌تر از ۶ کاهش می‌یابد [۲۶].



شکل ۹- گونه‌های یونی سیپروفلوکساسین در pHهای مختلف [۲۷]

به دست نیامد. بر اساس پژوهش‌های متعددی، مقدار نسبت مولی مناسب به غلظت اولیه و غلظت آهن بستگی دارد. یوهانگ و همکاران گزارش کردند که مقدار بھینه $\text{H}_2\text{O}_2/\text{Fe}$ به pH اولیه بستگی دارد [۲۹]. در این پژوهش مشاهده شد که با افزایش نسبت $\text{H}_2\text{O}_2/\text{Fe}$ ، از ۱:۲ به ۱:۵ راندمان حذف آنتی‌بیوتیک کاهش می‌یابد. این بدان معنی است که پراکسید هیدروژن در نسبت‌های بالاتر از حد بھینه $\text{H}_2\text{O}_2/2\text{gFe}$ به عنوان ربانیده رادیکال‌های هیدروکسیل تولیدی عمل کرده و موجب کاهش بازدهی فرایند می‌شود. نسبت مولی بھینه نه تنها به لحاظ دستیابی به تجزیه موثر آنتی‌بیوتیک سپروفلوکسازین بلکه به منظور به حداقل رساندن مقدار مصرف پراکسید هیدروژن و نانوکامپوزیت مگنتیت بازدهی فرایند فتنون هتروژن بررسی کردند و نشان دادند مقدار جاذب شده را بر روی میزان حذف تستسترون-۱۷ α در محیط‌های آبی با استفاده از نانوکامپوزیت مگنتیت $\text{Fe}_3\text{O}_4/\text{MWCNT}$ در فرایند فتنون هتروژن بررسی کردند و نشان دادند مقدار جاذب بھینه ۲ گرم در لیتر است و کاهش مقدار pH از ۸ به ۳، کارایی حذف متمیل تستسترون-۱۷ α را افزایش می‌دهد [۲۳]. در پژوهش ژا و همکاران دز بھینه بنتونیت اصلاح شده برابر ۴ گرم در لیتر با حذف متمیل تستسترون-۱۷ α از ۹۹ درصد حذف آموکسیسیلین در نظر گرفته شد [۲۸]. همچنین در پژوهش ژانگ و همکاران در حذف آنتی‌بیوتیک تستراسایکلین توسط نانولوله‌های کربنی چند دیواره، مقدار دز بھینه نانولوله‌های کربنی چند دیواره ۲ گرم در لیتر با کارایی حذف بیش از ۹۹ درصد انتخاب شد [۲۶].

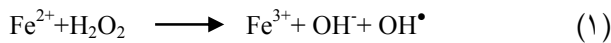


شکل ۱۱- تأثیر غلظت H_2O_2 بر کارایی فرایند (غلظت آنتی‌بیوتیک ۳۰ میلی‌گرم در لیتر، زمان ماند ۱۸۰ دقیقه، مقدار جاذب ۲ گرم در لیتر، pH برابر ۴)

۴- نتیجه‌گیری

نتایج حاصل از پژوهش نشان داد فرایند فتنون هتروژن قادر به حذف آنتی‌بیوتیک سپروفلوکسازین است به طوری که در مدت ۱۸۰ دقیقه، در شرایط بھینه شامل pH برابر ۴، جاذب بھینه ۲ گرم در لیتر و غلظت ۲۰ میلی‌مول در لیتر از پراکسید هیدروژن، ۹۵ درصد آنتی‌بیوتیک حذف شد که این عمل در اثر تولید عامل

محیط با رادیکال‌های هیدروکسیل ترکیب شده و آن‌ها را مطابق رابطه ۲ از محیط خارج می‌کند [۲۳].



همچنین افزایش بیش از حد نانوکامپوزیت مگنتیت به دلیل تشکیل هیدروکسید آهن $\text{Fe}(\text{OH})_3$. میزان کدورت را افزایش می‌دهد [۲۳]. هیو ایکس و همکاران اثرات pH و مقدار جاذب سنتز شده را بر روی میزان حذف تستسترون-۱۷ α در محیط‌های آبی با استفاده از نانوکامپوزیت مگنتیت $\text{Fe}_3\text{O}_4/\text{MWCNT}$ در فرایند فتنون هتروژن بررسی کردند و نشان دادند مقدار جاذب بھینه ۲ گرم در لیتر است و کاهش مقدار pH از ۸ به ۳، کارایی حذف متمیل تستسترون-۱۷ α را افزایش می‌دهد [۲۳]. در پژوهش ژا و همکاران دز بھینه بنتونیت اصلاح شده برابر ۴ گرم در لیتر با حذف متمیل تستسترون-۱۷ α از ۹۹ درصد حذف آموکسیسیلین در نظر گرفته شد [۲۸]. همچنین در پژوهش ژانگ و همکاران در حذف آنتی‌بیوتیک تستراسایکلین توسط نانولوله‌های کربنی چند دیواره، مقدار دز بھینه نانولوله‌های کربنی چند دیواره ۲ گرم در لیتر با کارایی حذف بیش از ۹۹ درصد انتخاب شد [۲۶].

۵- تأثیر غلظت H_2O_2 و نسبت مولی $[\text{H}_2\text{O}_2]/[\text{Fe}]$ برای حذف آنتی‌بیوتیک

پراکسید هیدروژن در پنج غلظت در این اساس، همانطور که در شکل ۱۱ نیز مشخص شده است، با افزایش غلظت پراکسید هیدروژن، راندمان حذف افزایش یافت. اما افزایش غلظت بیش از ۲۰ میلی‌مول در لیتر، میزان کارایی فرایند را کاهش داد و در غلظت ۲۵ میلی‌مول در لیتر در کارایی حذف سپروفلوکسازین تفاوت چشمگیری مشاهده نشد. در این مرحله بیشترین بازدهی فرایند مربوط به غلظت ۲۰ میلی‌مول در لیتر پراکسید هیدروژن با بازدهی حذف ۹۲ درصد بود. با افزایش غلظت پراکسید هیدروژن، این ماده به اکسیژن و آب تجزیه شده و رادیکال‌های هیدروکسیل نیز با یکدیگر ترکیب می‌شوند. بنابراین حضور بیش از حد پراکسید هیدروژن نقش بازدارنگی از تشکیل رادیکال‌های هیدروکسیل را در پی دارد و موجب کاهش بازده فرایند می‌شود [۲۳]. به منظور بررسی مقدار بھینه $\text{H}_2\text{O}_2/\text{Fe}$ ، شش نسبت مولی ۱/۵، ۱/۴، ۱/۳، ۱/۲، ۱/۱، ۱/۰۵ در زمان‌های ۱۵ تا ۳۰۰ دقیقه و در pH برابر ۴ بررسی شد. لازم به ذکر است که در نسبت‌های مولی کمتر از ۵/۰، نتایج مشخصی

به عنوان کاتالیزوری مناسب با کارایی بالا برای حذف یا کاهش ترکیبات آلی مقاوم در نظر گرفت. در پایان می‌توان نتیجه‌گیری کرد که نانوکامپوزیت مغنتیت قادر به حذف آنتی‌بیوتیک سپرروفلوکسازین است.

۵- قدردانی

این مقاله برگرفته از پایان‌نامه دوره کارشناسی ارشد مهندسی بهداشت محیط مصوب دانشگاه علوم پزشکی همدان است. نویسنده‌گان از حوزه معاونت پژوهشی دانشگاه، که این طرح را از لحاظ مالی حمایت نموده‌اند، تشکر و قدردانی می‌نمایند.

اکسیدکننده نظیر رادیکال‌های هیدروکسیل اتفاق می‌افتد. همچنین نتایج نشان داد غلط نشان داد غلط اولیه آنتی‌بیوتیک تأثیر مستقیم در انتخاب غلط پراکسید هیدروژن و نانوکامپوزیت مغنتیت دارد. نانوکامپوزیت مغنتیت بعد از تعیین مشخصات به عنوان کاتالیزور مناسب برای حذف آنتی‌بیوتیک سپرروفلوکسازین به کار گرفته شد. کارایی حذف آنتی‌بیوتیک با افزایش غلط پراکسید هیدروژن تا مقدار ۲۰ میلی‌مول در لیتر افزایش و پس از آن به دلیل خاصیت جمع کنندگی رادیکال‌های هیدروکسیل توسط پراکسید هیدروژن، کارایی حذف آنتی‌بیوتیک کاهش یافت. نکته قابل توجه در این پژوهش، مواد اولیه ارزان و در دسترس و همچنین سنتز نسبتاً ساده نانوکامپوزیت مغنتیت $\text{Fe}_3\text{O}_4/\text{MWCNTs}$ است که می‌توان آن را

۶- مراجع

1. Dirany, A., Sirés, I., Oturan, N., and Oturan, M.A. (2010). "Electrochemical abatement of the antibiotic sulfamethoxazole from water." *Chemosphere*, 81(5), 594-602.
2. Gulkowska, A., Leung, H.W., So, M.K., Taniyasu, S., Yamashita, N., and Yeung, L.W.Y. (2008). "Removal of antibiotics from wastewater by sewage treatment facilities in Hong Kong and Shenzhen, China." *Water Research*, 42(1), 395-403.
3. Xian, Q., HuL., Chen, H., Chang, Z., and Zou, H. (2010). "Removal of nutrients and veterinary antibiotics from swine wastewater by a constructed macrophyte floating bed system." *Journal of Environmental Management*, 91(12), 2657-2661.
4. Andreozzi, R., Canterino, M., Marotta, R., and Paxeus, N. (2005). Antibiotic removal from wastewaters: The ozonation of amoxicillin." *Journal of Hazardous Materials*, 122(3), 243-250.
5. Boyd, G.R., Reemtsma, H., Grimm, D.A., and Mitra, S. (2003). "Pharmaceuticals and personal care products (PPCPs) in surface and treated waters of Louisiana, USA and Ontario, Canada." *Science of the Total Environment*, 311(1), 135-149.
6. Heberer, T. (2002). "Tracking persistent pharmaceutical residues from municipal sewage to drinking water." *Journal of Hydrology*, 266(3), 175-189.
7. Wei, R. (2011). "Occurrence of veterinary antibiotics in animal wastewater and surface water around farms in Jiangsu Province." *Chemosphere*, 82(10), 1408-14147.
8. El-Shafey, E-SI., Al-Lawati, H., and Al-Sumri, AS. (2012). "Ciprofloxacin adsorption from aqueous solution onto chemically prepared carbon from date palm leaflets." *Journal of Environmental Sciences*, 24(9), 1579-1586.
9. Zha, S.X., Zhou, Y., Jin, X., and Chen, Z. (2013). "The removal of amoxicillin from wastewater using organobentonite." *J. Environ. Manag.*, 129, 569-576.
10. Moussavi, Gh., Alahabadi, A., Yaghmaeian, K., and Eskandari, M. (2013). "Preparation, characterization and adsorption potential of the NHCl-induced activated carbon for the removal of amoxicillin antibiotic from water." *Chem. Eng. J.*, 217, 119-128
11. Yu-Chen, A.L., Lin, C.F. L., Line, J.M., and Andy Hong, P.K. (2009). " O_3 and $\text{O}_3/\text{H}_2\text{O}_2$ treatment of sulfonamide and macrolide antibiotics in wastewater." *J. of Hazardous Materials*, 171, 452-458.
12. Koyuncu, I., Arıkan, O.A., Wiesner, M.R., and Rice, C. (2008). "Removal of hormones and antibiotics by nanofiltration membranes." *Journal of Membrane Science*, 309(1), 94-101.

13. Kim, T-H., Kim, S.D., Kim, H.Y., Lim, S.J, Lee, M., and Yu, S. (2012). "Degradation and toxicity assessment of sulfamethoxazole and chlortetracycline using electron beam, ozone and UV." *J. of Hazardous Materials*, 227, 237-242.
14. Choi, K-J., Son H-J., and Kim S-H. (2007). "Ionic treatment for removal of sulfonamide and tetracycline classes of antibiotic." *Science of the Total Environment*, 387(1), 247-256.
15. Choi, K-J., Kim, S-G., and Kim, S-H. (2008). "Removal of antibiotics by coagulation and granular activated carbon filtration." *J. of Hazardous Materials*, 151(1), 38-43.
16. Elmolla, E.S., and Chaudhuri, M. (2010). "Degradation of amoxicillin, ampicillin and cloxacillin antibiotics in aqueous solution by the UV/ZnO photocatalytic process." *J. of Hazardous Materials*, 173(1), 445-449.
17. Deng, Y., and Englehardt, J.D. (2006). "Treatment of landfill leachate by the Fenton process." *Water Research*, 40(20), 3683-3694.
18. Carabineiro, S., Thavorn-Amornsri, T., Pereira, M., and Figueiredo, J. (2011). Adsorption of ciprofloxacin on surface-modified carbon materials." *Water Research*, 45(15), 4583-4591.
19. Jafari, M., Aghamiri, S.F., and Khaghanic, G. (2011). "Batch adsorption of cephalosporins antibiotics from aqueous solution by means of multi-walled carbon nanotubes." *World Applied Sciences Journal*, 14(11), 1642-1650.
20. Kakavandi, B., Jonidi, A.J., Rezaei, R.K., Nasseri, S. Ameri, A., and Esrafily, A. (2013). "Synthesis and properties of Fe₃O₄-activated carbon magnetic nanoparticles for removal of aniline from aqueous solution: Equilibrium, kinetic and thermodynamic studies." *Iranian J. Environ. Health. Sci. Eng.*, 10(1), 19.
21. Zhao, X., Wang, J., Wu, F., Wang, T., Cai, Y., Shi, Y., Jiang, J. (2010). "Removal of fluoride from aqueous media by Fe₃O₄@Al(OH)₃ magnetic nanoparticles." *J. Hazard. Mater.*, 173(1-3), 102-109.
22. Morales-Cid, G., Fekete, A., Simonet, B.M., Lehmann, R., Cardenas, S., and Zhang, X., Valcarcel, M., and Schmitkopplin, (2010). "In situ synthesis of magnetic multiwall carbon nanotube composites for the clean-up of (fluoro) quinolones from human plasma prior to ultrahigh pressure liquid chromatography analysis." *Anal. Chem.*, 82(7), 2743-2752.
23. Hu, X., Liu, B., Deng, Y., Chen, H., Luo, S., Sun, C., Yang, P., and Yang, Sh. (2011). "Adsorption and heterogeneous fenton degradation of 17 α -methyltestosterone on nano Fe₃O₄/MWCNTs in aqueous solution." *Applied Catalysis B: Environmental*, 107(3), 274-283.
24. Chen, W-R., and Huang, C-H. (2014). "Adsorption and transformation of tetracycline antibiotics with aluminum oxide." *Chemosphere*, 79(8), 779-785.
25. Li, H., Zhang, D., Han, X., and Xing, B. (2014). "Adsorption of antibiotic ciprofloxacin on carbon nanotubes: pH dependence and thermodynamics." *Chemosphere*, 95, 150-155.
26. Zhang, L., Song, X., Liu, X., Yang, L., Pan, F., Lv, J. (2011). "Studies on the removal of tetracycline by multi-walled carbon nanotubes." *Chem. Engin. J.*, 178, 26-33.
27. Wang, C-J., Li, Z., Jiang, W-T., Jean, J-S., Liu, C-C. (2010). "Cation exchange interaction between antibiotic ciprofloxacin and montmorillonite." *J. of Hazardous Materials*, 183(1), 309-314.
28. Zhou, Y., Jin, X., and Chen, Z. (2013). "The removal of amoxicillin from wastewater using organobentonite." *J. of Environmental Management*, 129, 569-576.
29. Huang, Y.H., and Zhang, T.C. (2004). "Effects of low pH on nitrate reduction by iron powder." *Water Research*, 38(11), 2631-2642.